

## 两对头孢菌素类抗生素异构体的质谱识别研究

朱培曦<sup>1</sup>, 贾 飞<sup>1</sup>, 陈 悅<sup>1</sup>, 陆静娴<sup>1</sup>, 潘芳芳<sup>1</sup>, 李会林<sup>1</sup>,  
郑金琪<sup>1</sup>, 蒋可志<sup>2</sup>, 林 琼<sup>3</sup>

(1. 浙江省食品药品检验研究院,浙江 杭州 310004;2. 杭州师范大学有机硅重点实验室,浙江 杭州 311121;

3. 浙江工业大学化学工程与材料学院,浙江 杭州 310014)

**摘要:**采用电喷雾四极杆飞行时间质谱技术对头孢他啶及 $\Delta_2$ 异构体,头孢曲松Z/E异构体进行了分析研究,并使用离子阱质谱技术对头孢他啶的碎裂途径进行了确认。头孢他啶质子化离子容易丢失CO或CO<sub>2</sub>而形成碎片离子m/z 440、424、396;由于双键与六元环上硫原子相连,头孢他啶 $\Delta_2$ 异构体容易发生开环反应,产生特征碎片离子m/z 313。头孢曲松Z异构体中,酰胺键氮上的氢容易与肟基上的氧原子形成分子内氢键,所对应的碎片离子m/z 324较稳定,丰度较高;而头孢曲松E异构体中,酰胺键氮上的氢却与肟基上的N原子形成分子内氢键,促进其进一步发生丢失甲氧基碎裂,形成碎片离子m/z 293和m/z 112。上述特征碎裂可用于这两类异构体的质谱识别,也可为类似样品中异构体杂质的分离鉴定提供数据支持。

**关键词:**头孢他啶;头孢曲松;异构体区分;质谱识别;正离子

**中图分类号:**O657.63      **文献标志码:**A      **文章编号:**1004-2997(2015)04-0350-09

**doi:**10.7538/zpxb.youxian.2015.0021

### Differentiation of Two Pairs of Cephalosporins Isomers by Mass Spectrometry

ZHU Pei-xi<sup>1</sup>, JIA Fei<sup>1</sup>, CHEN Yue<sup>1</sup>, LU Jing-xian<sup>1</sup>, PAN Fang-fang<sup>1</sup>, LI Hui-lin<sup>1</sup>,  
ZHENG Jin-qi<sup>1</sup>, JIANG Ke-zhi<sup>2</sup>, LIN Qiong<sup>3</sup>

(1. Zhejiang Institute for Food and Drug Control, Hangzhou 310004, China;

2. Key Laboratory of Organosilicon Chemistry and Material Technology, Hangzhou Normal University,  
Hangzhou 311121, China; 3. College of Chemistry Engineering and Material Science,  
Zhejiang University of Technology, Hangzhou 310014, China)

**Abstract:** Two pairs of cephalosporins isomers, including  $\Delta_2/\Delta_3$  isomer of ceftazidime and Z/E isomer of ceftriaxone, were discriminated by electrospray quadrupole-time-of-flight mass spectrometry (ESI-Q-TOF MS). In addition, the fragmentation characters of cephalosporins were identified by ion trap mass spectrometry. The protonated ceftazi-

收稿日期:2014-09-04;修回日期:2014-10-26

基金项目:国家自然科学基金青年基金项目(21205025);浙江省科技厅分析测试科技计划项目(2013C37055,2014C37059)资助

作者简介:朱培曦(1984—),男(汉族),浙江杭州人,主管药师,从事化学药品质量研究工作。E-mail: zhpx110@126.com

通信作者:蒋可志(1980—),男(汉族),浙江永嘉人,副研究员,从事有机质谱研究工作。E-mail: jiangkezhi@hznu.edu.cn

网络出版时间:2015-05-26;网络出版地址:<http://www.cnki.net/kcms/detail/11.2979.TH.20150526.0905.005.html>

dime is found to facilely undergo fragmentation *via* losing CO or CO<sub>2</sub> to afford the fragment ions at *m/z* 440, 424 and 396; in contrast, fragmentation of its Δ<sub>3</sub> isomer readily leads to the fragment ion at *m/z* 313 *via* the ring-opening reaction initiated by the positive charge on the double bond. For the protonated ceftriaxone, the amide group is facile to interact with the oxygen atom of the oxyimino group *via* an intramolecular hydrogen bond in the structure of the Z isomer, thereby its fragment ion at *m/z* 324 shows high abundance. Whereas, there is an intramolecular hydrogen bond between the amide group and the nitrogen atom of the oxyimino group in the structure of its E isomer, which facilitates the loss of methoxyl group to form the fragment ions at *m/z* 293 and *m/z* 112. These different fragmentation patterns can be used to discriminate the two pairs of isomers. This work can also contribute to differentiation and characterization of the potential isomeric impurities of cephalosporins.

**Key words:** ceftazidime; ceftriaxone; isomer differentiation; mass spectrometry; positive ions

头孢菌素是一类广谱半合成抗生素,具有抗菌谱广、抗菌活性强、疗效高、耐酸、耐碱、耐β内酰胺酶、低致敏、副作用小等优点<sup>[1-3]</sup>。头孢他啶和头孢曲松为第三代头孢菌素,在耐β内酰胺酶、抗革兰阴性菌及抗菌谱等方面的性能比第二代更优越。由于在合成或保存过程中,头孢菌素类药物容易产生各种异构体杂质,如Δ<sub>3</sub>异构体和顺反异构体等<sup>[4]</sup>,而异构体杂质与药物主成分的结构较为接近,是药品中杂质鉴定的难点,因此,通过对异构体杂质裂解规律的总结,可以为未知杂质结构的推导提供实验依据。

自20世纪80年代以来,人们就一直尝试使用质谱技术对异构体分子进行鉴定和区分<sup>[5-6]</sup>,且

随着软电离技术的发展,出现了许多使用电喷雾质谱技术对各种异构体进行区分的报道<sup>[7-15]</sup>。头孢菌素类药物是广泛使用的抗生素药物,已有文献对其质谱裂解行为进行了总结<sup>[16-19]</sup>,并且尝试对盐酸头孢吡肟、盐酸头孢甲肟、头孢泊肟酯等药物的Z/E异构体或Δ<sub>2</sub>/Δ<sub>3</sub>异构体进行鉴定<sup>[20-22]</sup>。

头孢丙烯和中间体7-氨基-3-丙烯基-4-头孢烷酸(7-APRA)的裂解规律已有报道<sup>[23]</sup>。头孢他啶的Δ<sub>2</sub>/Δ<sub>3</sub>异构体和头孢曲松的Z/E异构体的结构式示于图1。本工作拟采用四极杆飞行时间质谱技术对其进行区分,旨为直接使用液相色谱-质谱技术分离鉴定类似样品中的异构体杂质提供数据支持。

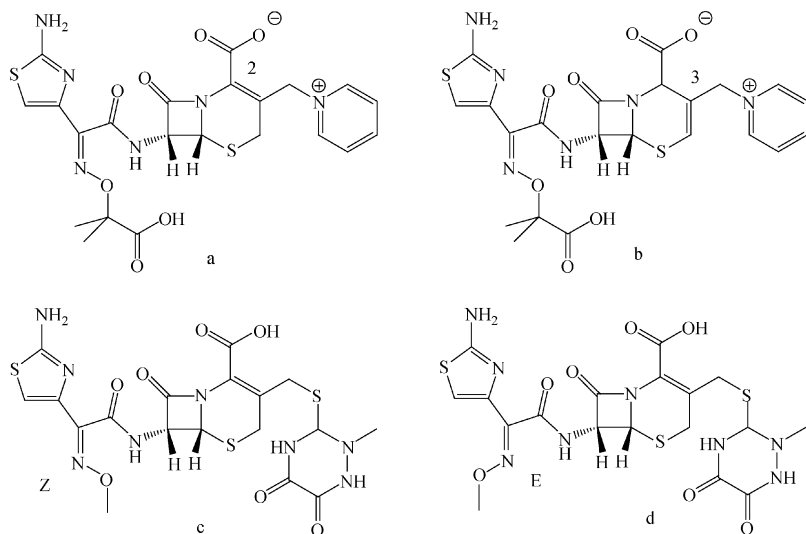


图1 头孢他啶(a)、头孢他啶Δ<sub>3</sub>异构体(b)、头孢曲松(c)和头孢曲松E异构体(d)的化学结构

Fig. 1 Chemical structures of ceftazidime (a), Δ<sub>3</sub> isomer (b), ceftriaxone (c) and ceftriaxone E isomer (d)

## 1 实验部分

### 1.1 仪器与试剂

6538 四极杆飞行时间质谱仪、6320 离子阱质谱仪:美国 Agilent 公司产品;KDS-100-CE 流动注射泵:美国 KD Scientific 公司产品。

头孢他啶和头孢曲松对照品:由中国食品药品检定研究院提供;头孢他啶  $\Delta_3$  异构体和头孢曲松 E 异构体:美国药典标准品;甲醇(色谱纯):美国 Merck 公司产品;超纯水:美国 Millipore 公司产品。

### 1.2 质谱条件

**1.2.1 四极杆飞行时间质谱仪** 电喷雾离子源,正离子模式,毛细管电压 4 000 V,毛细管温度 300 °C,雾化气压力 241.325 kPa,干燥气流速 600 L/h,质量扫描范围  $m/z$  50~1 000,碰撞气为 N<sub>2</sub>,流动泵进样速度 180  $\mu$ L/h。质谱数据采集模式为 Extended Dynamic Range (2 GHz),正离子模式下, $m/z$  121.050 8 和  $m/z$  922.009 8 作为内标离子,实时对样品测定结果进行校正;LC/MS 数据采用 Mass Hunter Qualitative Analysis B.04.00 软件分析。

**1.2.2 离子阱质谱仪** 电喷雾离子源,正离子模式,毛细管电压 4 000 V,毛细管温度 250 °C,雾化气压力 206.85 kPa,干燥气流速 600 L/h,质量扫描范围  $m/z$  50~1 000,碰撞气为 He,流动泵进样速度 500  $\mu$ L/h。

### 1.3 样品处理

精密称取各对照品 0.010 g,置于 200 mL 容量瓶中,用 50% 甲醇溶解并稀释至刻度,经 0.45  $\mu$ m 滤膜过滤,作为测试溶液。

## 2 结果与讨论

### 2.1 头孢他啶及其 $\Delta_3$ 异构体的质谱区分研究

正离子模式下,头孢他啶及其  $\Delta_3$  异构体的二级质谱图示于图 2。头孢他啶经电喷雾电离容易形成质子化离子  $[A + H]^+$  ( $m/z$  547),其二级质谱图示于图 2a,其中基峰离子  $m/z$  468 是由母离子  $[A + H]^+$  失去一分子吡啶形成的。碎片离子  $m/z$  468 可进一步丢失一分子 CO 或 CO<sub>2</sub>,形成二级碎片离子  $m/z$  440 或  $m/z$  424;碎片离子  $m/z$  396 可由二级离子  $m/z$  440 失去一分子 CO<sub>2</sub> 或由二级离子  $m/z$  424 失去一分子 CO 形成;碎片离子  $m/z$  396 可再丢失一分子 NH<sub>3</sub> 和一分子末端羧基基团形成碎片离子  $m/z$  277;碎片离子  $m/z$  167 则可由碎片离子  $m/z$  396 断裂羰基与肟基相连的单键形成。头孢他啶的碎裂途径示于图 3,该断裂方式与文献报道的一致<sup>[24]</sup>,并采用多级质谱进行确证,示于图 4。同时,上述碎片离子的元素组成均得到高分辨质谱数据的确证,结果列于表 1。

在头孢他啶  $\Delta_3$  异构体的二级质谱图中,  $[B + H]^+$  同样容易失去一分子吡啶形成碎片离子  $m/z$  468 (基峰),示于图 2b。与  $[A + H]^+$  不同的是,  $[B + H]^+$  在碎裂过程中不易产生碎片离子  $m/z$  440、424 和 396,却容易形成碎片离子  $m/z$  313,该特征碎裂可作为这对异构体的质谱识别。在  $[B + H]^+$  结构中,六元环上的双键与 S 原子相连,碎片离子 a ( $m/z$  468) 在正电荷的诱导下发生六元环的开环反应形成异构体 b;由于羧基官能团上羰基氧原子亲核进攻,结构 b 发生闭环反应形成异构体 c;并继续发

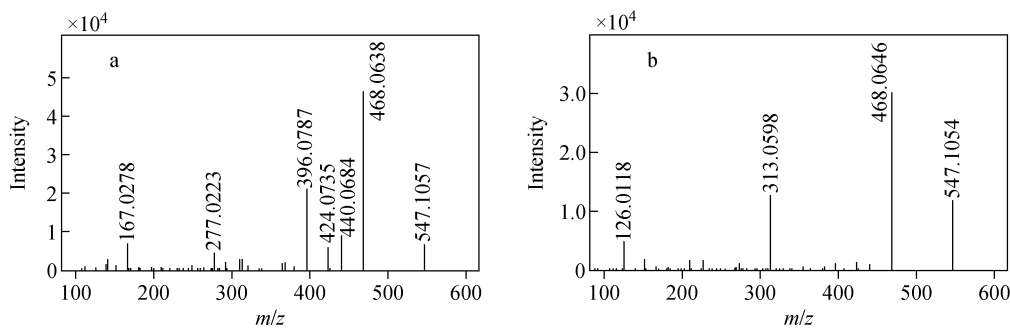


图 2 四极杆飞行时间质谱仪采集的头孢他啶(a)  
及其  $\Delta_3$  异构体(b)准分子离子的  $MS^2$  质谱图(12 V)

Fig. 2  $MS^2$  spectra of protonated ceftazidime (a) and  $\Delta_3$  isomer (b) acquired by Q-TOF MS (12 V)

生质子迁移形成结构 d;由于电荷诱导,相邻的酰胺 O 发生闭环反应产生结构 e;由于芳构化作用,结构 e 发生四元环开环反应产生碎片离子  $m/z$  313。由此可见, $\Delta_3$  异构体结构中的双

键与硫原子相连,从而引发形成碎片离子  $m/z$  313 的特征碎裂反应,其裂解途径示于图 5。根据谱图中特征碎裂离子的显著差异,这对异构体的质谱识别可以实现。

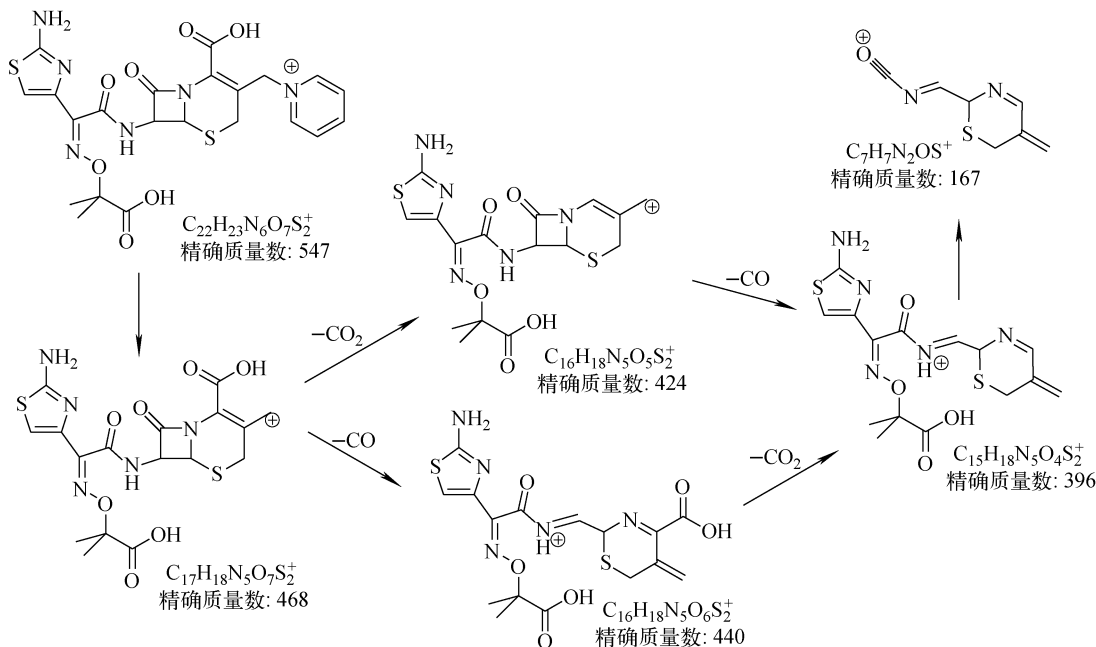


图 3 头孢他啶可能的碎裂途径

Fig. 3 Possible fragmentation pathways of ceftazidime

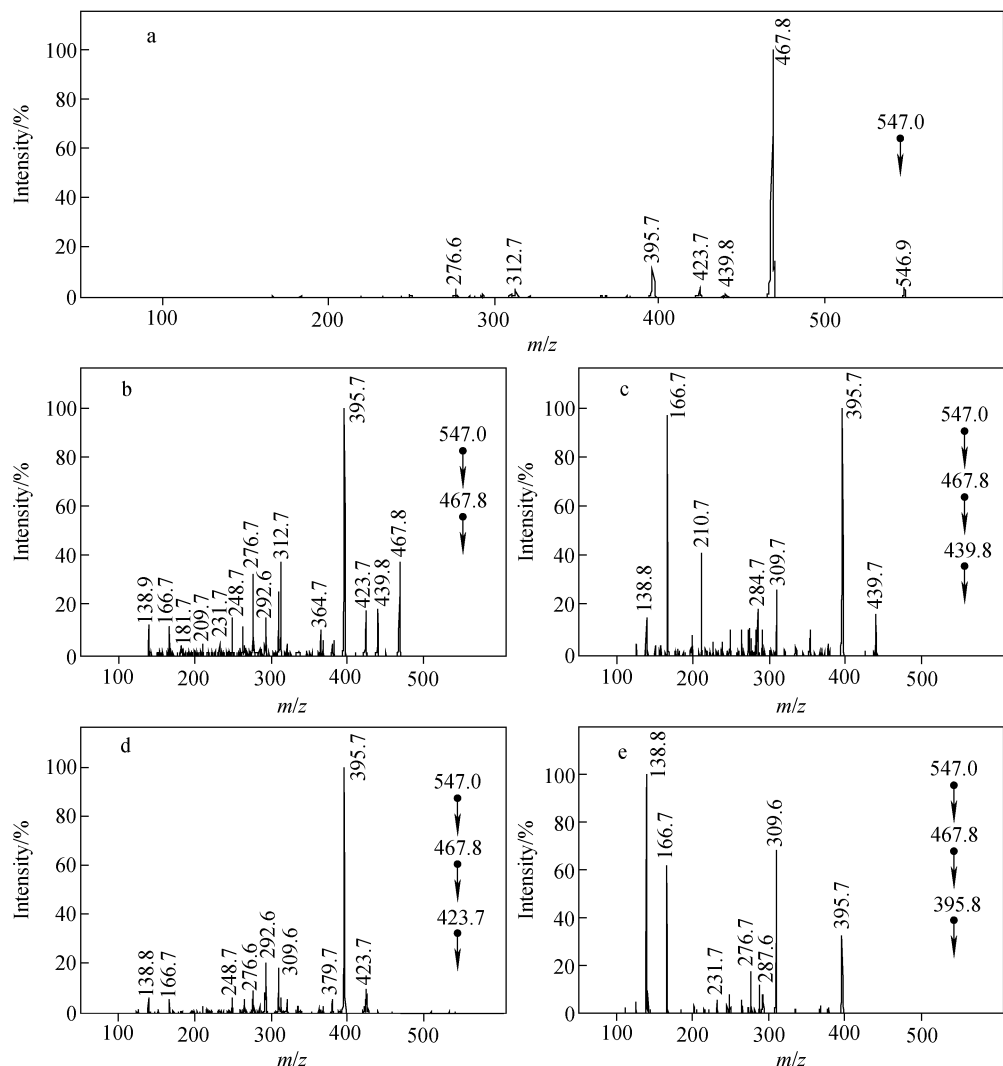
表 1 头孢他啶和头孢曲松的高分辨质谱数据

Table 1 Accurate mass measurements of ceftazidime and ceftriaxone

前体离子( $m/z$ )	产物离子( $m/z$ )	实验值/u	计算值/u	分子式	相对误差/ $10^{-6}$
头孢他啶	—	547.1057	547.1064	$C_{22}H_{23}N_6O_7S_2^+$	-1.3
$m/z$ 547	468	468.0638	468.0642	$C_{17}H_{18}N_5O_7S_2^+$	-0.9
	440	440.0684	440.0693	$C_{16}H_{18}N_5O_6S_2^+$	-2.0
	424	424.0735	424.0744	$C_{16}H_{18}N_5O_5S_2^+$	-2.1
	396	396.0787	396.0795	$C_{15}H_{18}N_5O_4S_2^+$	-2.0
	277	277.0223	277.0212	$C_{11}H_9N_4OS_2^+$	4.0
	167	167.0278	167.0274	$C_7H_7N_2OS^+$	2.4
头孢他啶 $\Delta_3$ 异构体	—	547.1054	547.1064	$C_{22}H_{23}N_6O_7S_2^+$	-1.8
$m/z$ 547	468	468.0646	468.0642	$C_{17}H_{18}N_5O_7S_2^+$	0.9
	313	313.0598	313.0601	$C_{11}H_{13}N_4O_5S^+$	-1.0
	227	227.0601	227.0597	$C_8H_{11}N_4O_2S^+$	1.8
	210	210.0201	210.0206	$C_7H_6N_4O_2S^+$	-2.4
	152	152.0169	152.0165	$C_7H_6NOS^+$	2.6
	126	126.0118	126.0120	$C_4H_4N_3S^+$	-1.6
头孢曲松	—	555.0536	555.0533	$C_{18}H_{19}N_8O_7S_3^+$	0.5
$m/z$ 555	396	396.0433	396.0431	$C_{14}H_{14}N_5O_5S_2^+$	0.5
	368	368.0479	368.0482	$C_{13}H_{14}N_5O_4S_2^+$	-0.8

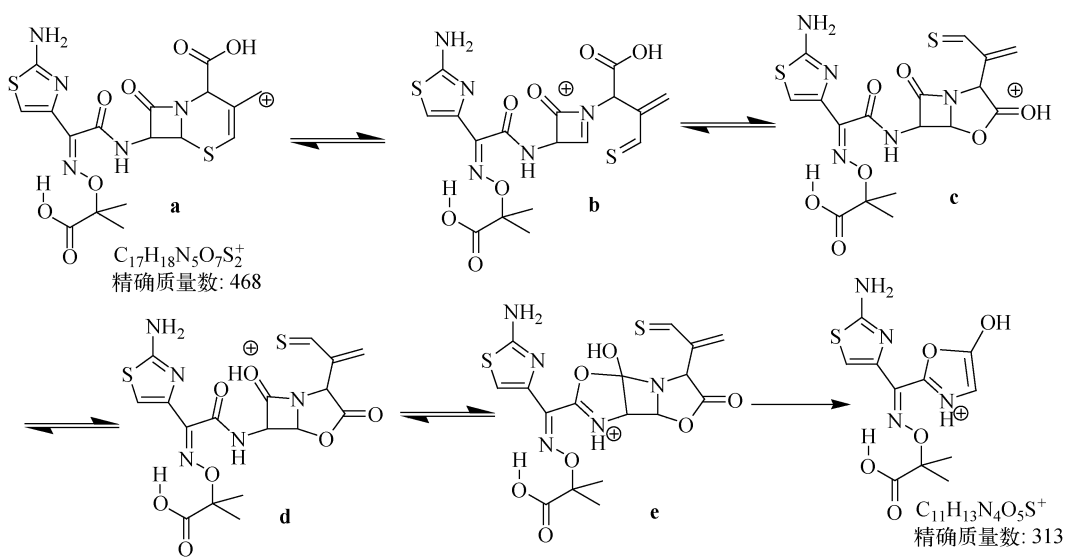
续表 1

前体离子( $m/z$ )	产物离子( $m/z$ )	实验值/u	计算值/u	分子式	相对误差/ $10^{-6}$
	352	352.0530	352.0533	$C_{13}H_{14}N_5O_3S_2^+$	-0.9
	324	324.0583	324.0583	$C_{12}H_{14}N_5O_2S_2^+$	0
	241	241.0391	241.0390	$C_8H_9N_4O_3S^+$	0.4
	167	167.0269	167.0274	$C_7H_7N_2OS^+$	-3.0
头孢曲松 E 异构体	-	555.0520	555.0533	$C_{18}H_{19}N_8O_7S_3^+$	-2.3
$m/z$ 555	396	396.0429	396.0431	$C_{14}H_{14}N_5O_5S_2^+$	-0.5
	368	368.0483	368.0482	$C_{13}H_{14}N_5O_4S_2^+$	0.3
	352	352.0529	352.0533	$C_{13}H_{14}N_5O_3S_2^+$	-1.1
	324	324.0577	324.0583	$C_{12}H_{14}N_5O_2S_2^+$	-1.9
	293	293.0394	293.0400	$C_{11}H_{11}N_5OS_2^{+ \cdot}$	-2.0
	112	112.0214	112.0215	$C_5H_6NS^+$	-0.9



注:a.  $MS^2(m/z 547 \rightarrow)$ ; b.  $MS^3(m/z 547 \rightarrow m/z 468 \rightarrow)$ ; c.  $MS^4(m/z 547 \rightarrow m/z 468 \rightarrow m/z 440 \rightarrow)$ ;  
d.  $MS^4(m/z 547 \rightarrow m/z 468 \rightarrow m/z 424 \rightarrow)$ ; e.  $MS^4(m/z 547 \rightarrow m/z 468 \rightarrow m/z 396 \rightarrow)$

图 4 离子阱质谱仪采集的头孢他啶准分子离子的  $MS^n$  质谱图Fig. 4  $MS^n$  spectra of protonated ceftazidime acquired by ion trap MS

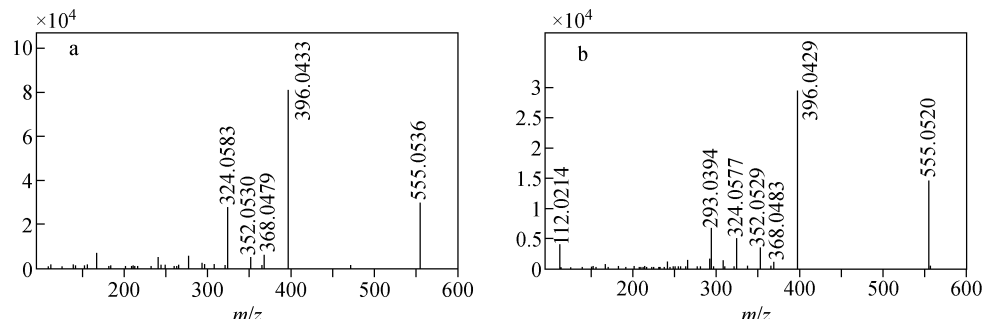
图 5 头孢他啶  $\Delta_3$  异构体 ( $m/z$  313) 可能的裂解途径Fig. 5 Possible fragmentation pathways of ceftazidime  $\Delta_3$  isomer ( $m/z$  313)

## 2.2 头孢曲松 Z/E 异构体的质谱区分研究

电喷雾正离子模式下,头孢曲松 Z/E 异构体的二级质谱图示于图 6。头孢曲松容易产生质子化离子  $[C + H]^+$ ,其二级质谱图示于图 6a,母离子  $[C + H]^+$  ( $m/z$  555) 容易发生 C—S 键断裂而形成碎片离子  $m/z$  396(基峰)。与头孢他啶类似,头孢曲松的碎片离子  $m/z$  396 分别丢失一分子 CO 或  $CO_2$ ,形成二级碎片离子  $m/z$  368 或  $m/z$  352;而三级碎片离子  $m/z$  324 则由离子  $m/z$  368 丢失一分子  $CO_2$  或由离子  $m/z$  352 丢失一分子 CO 形成,裂解途径示于图 7a。上述碎片离子的化学式均得到高分辨质谱数据的确证,结果列于表 1。

对比头孢曲松 Z/E 异构体的二级质谱图可以发现,Z 异构体  $[C + H]^+$  在碎裂过程中容

易形成碎片离子  $m/z$  324,E 异构体  $[D + H]^+$  却容易形成碎片离子  $m/z$  293 和  $m/z$  112,因此二者异构体可实现质谱区分,其二级质谱图示于图 6b。其中,E 异构体中的碎片离子  $m/z$  293 可以由碎片离子  $m/z$  324 进一步丢失甲氧基自由基产生。在 Z 异构体结构中,酰胺键的氮原子上的 H 原子容易与肟基上的 O 原子形成较稳定的分子内氢键(六元环),故碎片离子  $m/z$  324 较稳定,相对丰度较高;而在 E 异构体结构中,酰胺键的氮原子上的 H 原子却与肟基上的 N 原子形成分子内氢键(五元环),故进一步促进了碎片离子  $m/z$  324 丢失甲氧基,形成相对丰度较高的碎片离子  $m/z$  293,其裂解途径示于图 7b。上述区分与头孢吡肟 Z/E 异构体的相似<sup>[20]</sup>。

图 6 四极杆飞行时间质谱仪采集的头孢曲松 Z 异构体(a)和 E 异构体(b)准分子离子的  $MS^2$  质谱图 (10 V)Fig. 6  $MS^2$  spectra of protonated ceftriaxone Z isomer (a) and E isomer (b) acquired by Q-TOF MS (10 V)

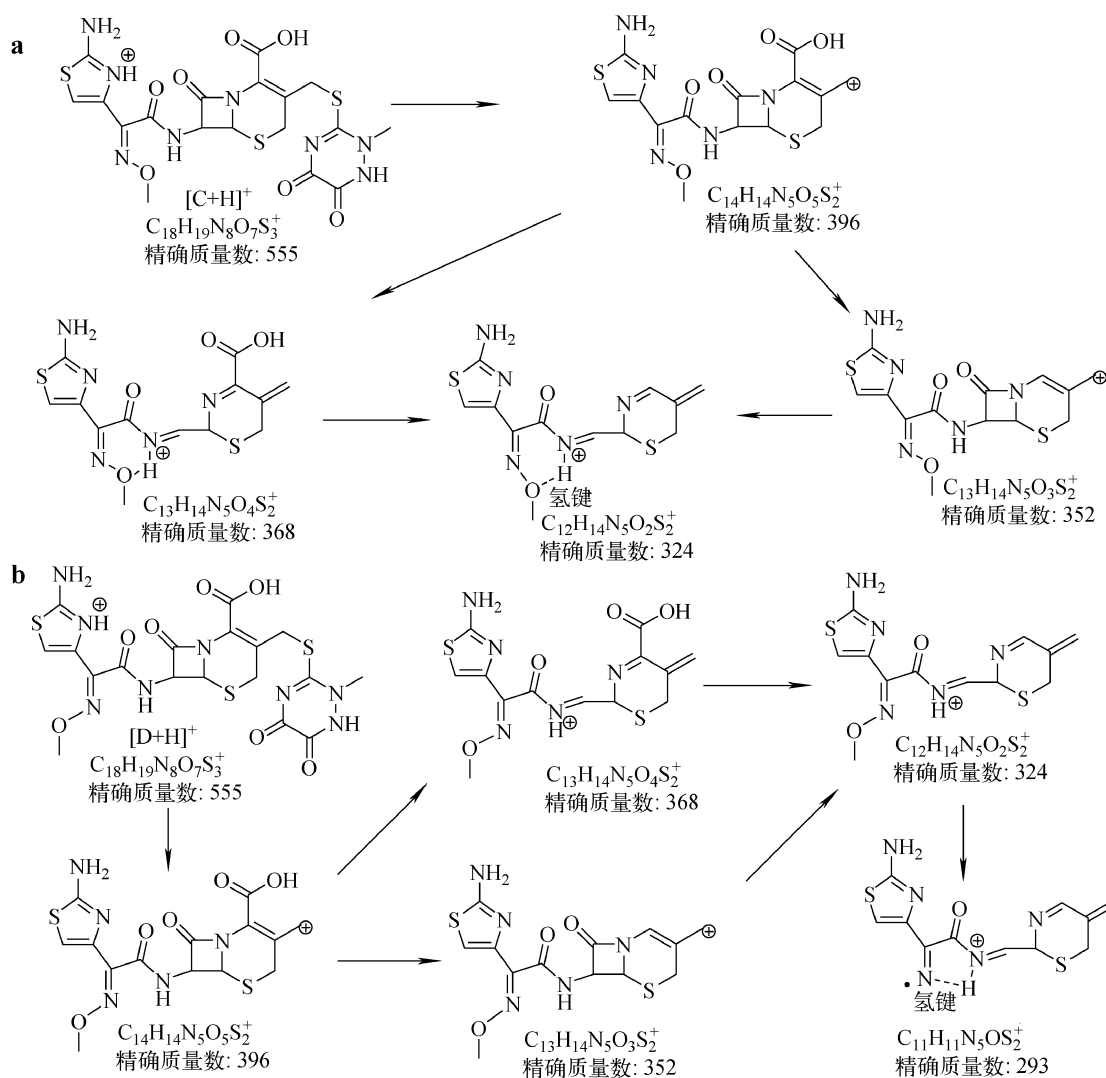


图 7 头孢曲松 Z 异构体(a)和 E 异构体(b)准分子离子可能的碎裂途径

Fig. 7 Possible fragmentation pathways of protonated ceftriaxone Z isomer (a) and E isomer (b)

### 3 结论

本工作采用四极杆飞行时间质谱技术对头孢他啶及其 $\Delta_3$ 异构体,以及头孢曲松Z/E异构体进行碎裂研究,并使用离子阱质谱技术对头孢他啶的碎裂途径进行验证。由于双键位置产生移动,导致了头孢他啶及其 $\Delta_3$ 异构体六元环稳定性的差异,产生了各自特征的质谱碎裂模式。头孢曲松Z/E异构体可以形成不同的分子内氢键,导致碎片离子的稳定性不同,且区分较为明显。上述结果表明,由于空间结构不同,导致头孢菌素异构体的裂解方式或难易程度不同,从而在二级质谱图中表现出明显的差异。因此,可以使用质谱技术对异构体进行有效地区分,该结果也

可为类似样品中异构体杂质的分离鉴定提供实验数据支持。

### 参考文献:

- [1] PATEL I H, KAPLAN S A. Pharmacokinetic profile of ceftriaxone in man[J]. The American Journal of Medicine, 1984, 77(4C): 17-25.
- [2] SOBACK S, ZIV G. Pharmacokinetics of ceftazidime given alone and combination with probenecid to unweaned calves[J]. American Journal of Veterinary Research, 1989, 50(9): 1 566-1 569.
- [3] 薛雨,陈宇瑛. 头孢菌素类抗生素的最新研究进展[J]. 中国抗生素杂志,2011,36(2):86-92.  
XUE Yu, CHEN Yuying. New development of cephalosporin antibiotics[J]. Chinese Journal of

- Antibiotics, 2011, 36(2): 86-92(in Chinese).
- [4] 蒋煜, 张哲峰, 王虹.  $\beta$ -内酰胺类抗生素异构体杂质研究和质控进展[J]. 中国抗生素杂志, 2010, 35(8): 561-566.
- JIANG Yu, ZHANG Zhefeng, WANG Hong. Isomeric impurity research and quality control of  $\beta$ -lactam antibiotics[J]. Chinese Journal of Antibiotics, 2010, 35(8): 561-566(in Chinese).
- [5] MANDELBAUM A. Stereochemical effects in mass spectrometry[J]. Mass Spectrometry Reviews, 1983, 2(2): 223-284.
- [6] VAIRAMANI M, SARASWATHI M. Mass spectral study of geometrical (E)- and (Z)- isomers[J]. Mass Spectrometry Reviews, 1991, 2 (2): 491-517.
- [7] ZHANG X P, ZHU P X, ZHANG H R, et al. The competing radical eliminations in the tandem mass spectrometry of the OH-deprotonated benzyl vanillate[J]. Journal of Mass Spectrometry, 2015, 50(2): 432-436.
- [8] WU Y Q, GUO C, ZHANG N W, et al. Rapid differentiation of *ortho*-, *meta*-, and *para*-isomers of halogenated phenylmethylidene hydrazinecarbodithioates by metal complexation and electrospray ionization mass spectrometry [J]. Rapid Communications in Mass Spectrometry, 2014, 28 (19): 2111-2120.
- [9] WAN D B, YANG H M, YAN C Y, et al. Differentiation of glucose-containing disaccharides isomers by fragmentation of the deprotonated non-covalent dimers using negative electrospray ionization tandem mass spectrometry[J]. Talanta, 2013, 115: 870-875.
- [10] ZHANG X P, LI F, LV H Q, et al. On the origin of the methyl radical loss from deprotonated ferulic and isoferulic acids: Electronic excitation of a transient structure[J]. Journal of American Society for Mass Spectrometry, 2013, 24 (6): 941-948.
- [11] JIANG K Z, BIAN G F, PAN Y J, et al. Recognizing *ortho*-, *meta*- or *para*- positional isomers of S-methyl methoxylphenylmethylenehydrazine dithiocarboxylates by ESI-MS<sup>2</sup>: The positional effect of the methoxyl substituent[J]. International Journal of Mass Spectrometry, 2011, 299(1): 13-19.
- [12] SUN C R, ZHU P X, HU N, et al. Differentiation of lisinopril and its RSS diastereomer by liquid chromatography combined with collision-induced dissociation mass spectrometry[J]. Journal of Mass Spectrometry, 2010, 45(1): 89-96.
- [13] MAYER-HELM B, HOFBAUER L, PANI J. Different responses of E/Z-isomers of pesticides in liquid chromatography-electrospray ionization-mass spectrometry [J]. Journal of Mass Spectrometry, 2010, 45(7): 715-721.
- [14] RAMESH M, RAJU B, SRINIVAS R, et al. Characterization of N<sup>a</sup>-Fmoc-protected dipeptide isomers by electrospray ionization tandem mass spectrometry (ESI-MS<sup>n</sup>): Effect of protecting group on fragmentation of dipeptides[J]. Rapid Communications in Mass Spectrometry, 2011, 25 (14): 1949-1958.
- [15] 孙靖辉, 吴巍, 郭迎迎, 等. 利用 ESI-Q-TOF-MS/MS 区分人参皂苷 Rh<sub>2</sub> 和 CK[J]. 质谱学报, 2014, 35(2): 158-162.  
SUN Jinghui, WU Wei, GUO Yingying, et al. Differentiation of *Ginsenoside Isomer Rh<sub>2</sub>* and CK using ESI-Q-TOF-MS/MS[J]. Journal of Chinese Mass Spectrometry Society, 2014, 35(2): 158-162(in Chinese).
- [16] 郭泽琴, 霍佳丽, 王建华, 等.  $\beta$ -内酰胺类抗生素质谱裂解机理研究[J]. 质谱学报, 2014, 35(1): 45-51.  
GUO Zeqin, HUO Jiali, WANG Jianhua, et al. Study on the cleavage rule of  $\beta$ -lactam antibiotics by electrospray quadrupole time-of-flight tandem mass spectrometry[J]. Journal of Chinese Mass Spectrometry Society, 2014, 35(1): 45-51 (in Chinese).
- [17] 李惠琳, 邢俊鹏, 刘志强, 等. 头孢菌素类抗生素的电喷雾多级串联质谱分析[J]. 质谱学报, 2005, 26(4): 198-202.  
LI Huilin, XING Junpeng, LIU Zhiqiang, et al. Analysis of cephalosporins by electrospray ionization multi-stage tandem mass spectrometry [J]. Journal of Chinese Mass Spectrometry Society, 2005, 26(4): 198-202(in Chinese).
- [18] RABBOLINI S, VERARDO E, da COL M, et al. Negative ion electrospray ionization tandem mass spectrometry in the structural characterization of penicillins[J]. Rapid Communications in Mass

- Spectrometry, 1998, 12(22): 1 820-1 826.
- [19] TENCONI S, de FILIPPO L, da COL M, et al. Electrospray mass spectrometry in the structural characterization of cephalosporins[J]. Journal of Mass Spectrometry, 1999, 34(4): 268-275.
- [20] 王少敏, 邹大鹏, 张建业, 等. 高效液相色谱/串联质谱法快速鉴定 Z/E 盐酸头孢吡肟异构体[J]. 分析化学, 2006, 34(9): 1 278-1 282.
- WANG Shaomin, ZOU Dapeng, ZHANG Jianye, et al. Rapid identification of Z/E cefepime dihydrochloride by high performance liquid chromatography/tandem time of flight mass spectrometry[J]. Chinese Journal of Analytical Chemistry, 2006, 34(9): 1 278-1 282(in Chinese).
- [21] 赵玲, 郭继芬, 张爱军, 等. LC-MS/MS 法快速鉴定盐酸头孢吡肟中的同分异构体杂质[J]. 药学学报, 2005, 40(4): 361-364.
- ZHAO Ling, GUO Jifen, ZHANG Aijun, et al. Rapid identification of isomeric impurity in raw drugs of cefepime dihydrochloride by liquid chromatography-tandem mass spectrometry[J]. Acta Pharmaceutica Sinica, 2005, 40(4): 361-364(in Chinese).
- [22] WANG J, RUAN D, SHAN W G. Separation and characterization of the impurities and isomers in cefmenoxime hydrochloride by HPLC-UV MS<sup>\*</sup> [J]. Journal of Liquid Chromatography & Related Technologies, 2013, 36 (15): 2 125-2 141.
- [23] 朱培曦, 蒋可志, 郑金琪, 等. 液质联用法快速鉴定头孢丙烯及 7-APRA 的 Z/E 异构体[J]. 质谱学报, 2014, 35(3): 262-268.
- ZHU Peixi, JIANG Kezhi, ZHENG Jinqi, et al. Rapid identification of cefprozil and 7-APRA Z/E isomers by HPLC-MS/MS[J]. Journal of Chinese Mass Spectrometry Society, 2014, 35 (3): 262-268(in Chinese).
- [24] CHONG X M, HU C Q. Compilation of an ESI-MS library of  $\beta$ -lactam antibiotics for rapid identification of drugs[J]. Chromatographia, 2008, 68 (9/10): 759-766.